



Высокая стойкость к
электротермоциклированию
Низкие статические и динамические потери
Разработан для промышленного применения

Низкочастотный Диод Тип Д143-1250-18

Средний прямой ток				I_{FAV}		1250 A		
Повторяющееся импульсное обратное напряжение				U_{RRM}		1000 ÷ 1800 В		
$U_{RRM}, В$	1000	1100	1200	1300	1400	1500	1600	1800
Класс по напряжению	10	11	12	13	14	15	16	18
$T_j, °C$	-60 ÷ 190							

ПРЕДЕЛЬНО ДОПУСТИМЫЕ ЗНАЧЕНИЯ ПАРАМЕТРОВ

Обозначение и наименование параметра		Ед. изм.	Значение	Условия измерения	
Параметры в проводящем состоянии					
I_{FAV}	Средний прямой ток	А	1250 1500	$T_c=121 °C$; двухстороннее охлаждение; $T_c=100 °C$; двухстороннее охлаждение; 180 эл. град. синус; 50 Гц	
I_{FRMS}	Действующий прямой ток	А	1963	$T_c=121 °C$; двухстороннее охлаждение; 180 эл. град. синус; 50 Гц	
I_{FSM}	Ударный ток	кА	22.0 25.0	$T_j=T_{jmax}$ $T_j=25 °C$	180 эл. град. синус; 50 Гц ($t_p=10$ мс); единичный импульс; $U_R=0$ В;
			24.0 28.0	$T_j=T_{jmax}$ $T_j=25 °C$	180 эл. град. синус; 60 Гц ($t_p=8.3$ мс); единичный импульс; $U_R=0$ В;
I^2t	Защитный фактор	$A^2c \cdot 10^3$	2420 3125	$T_j=T_{jmax}$ $T_j=25 °C$	180 эл. град. синус; 50 Гц ($t_p=10$ мс); единичный импульс; $U_R=0$ В;
			2390 3250	$T_j=T_{jmax}$ $T_j=25 °C$	180 эл. град. синус; 60 Гц ($t_p=8.3$ мс); единичный импульс; $U_R=0$ В;
Блокирующие параметры					
U_{RRM}	Повторяющееся импульсное обратное напряжение	В	1000 ÷ 1800	$T_{jmin} < T_j < T_{jmax}$; 180 эл. град. синус; 50 Гц	
U_{RSM}	Неповторяющееся импульсное обратное напряжение	В	1100 ÷ 1900	$T_{jmin} < T_j < T_{jmax}$; 180 эл. град. синус; 50 Гц; единичный импульс	
U_R	Постоянное обратное напряжение	В	$0.75 \cdot U_{RRM}$	$T_j=T_{jmax}$;	
Тепловые параметры					
T_{stg}	Температура хранения	$°C$	-60 ÷ 50		
T_j	Температура р-п перехода	$°C$	-60 ÷ 190		
Механические параметры					
F	Монтажное усилие	кН	14.0 ÷ 16.0		
a	Ускорение	m/c^2	50	В не зажатом состоянии	
			100	В зажатом состоянии	

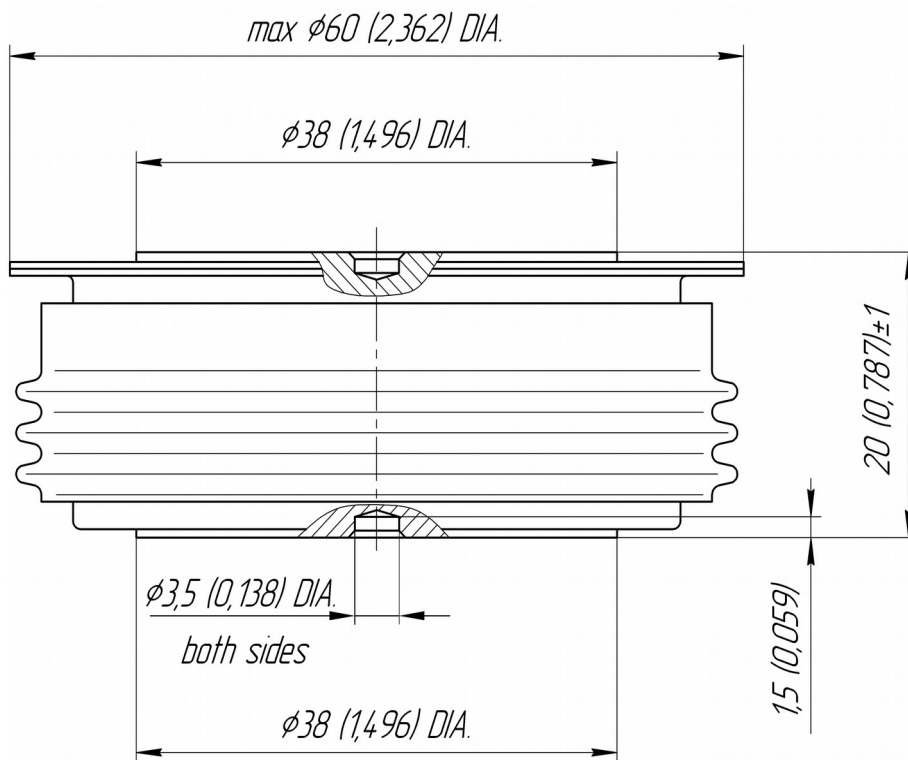
ХАРАКТЕРИСТИКИ

Обозначение и наименование характеристики		Ед. изм.	Значение	Условия измерения	
Характеристики в проводящем состоянии					
U_{FM}	Импульсное прямое напряжение, макс	В	1.65	$T_j=25\text{ }^\circ\text{C}; I_{FM}=3925\text{ A}$	
$U_{F(TO)}$	Пороговое напряжение, макс	В	0.95	$T_j=T_{j\text{ max}};$ $0.5 \pi I_{FAV} < I_T < 1.5 \pi I_{FAV}$	
r_T	Динамическое сопротивление, макс	МОм	0.250		
Блокирующие характеристики					
I_{RRM}	Повторяющийся импульсный обратный ток, макс	мА	70	$T_j=T_{j\text{ max}};$ $U_R=U_{RRM}$	
Тепловые характеристики					
R_{thjc}	Тепловое сопротивление р-п переход-корпус, макс	$^\circ\text{C}/\text{Вт}$	0.0320	Постоянный ток	Двухстороннее охлаждение
R_{thjc-A}			0.0704		Охлаждение со стороны анода
R_{thjc-K}			0.0576		Охлаждение со стороны катода
R_{thck}	Тепловое сопротивление корпус-охладитель, макс	$^\circ\text{C}/\text{Вт}$	0.0060	Постоянный ток	
Механические характеристики					
w	Масса, тип	г	260		
D_s	Длина пути тока утечки по поверхности	мм (дюйм)	23.69 (0.933)		
D_a	Длина пути тока утечки по воздуху	мм (дюйм)	19.10 (0.752)		

МАРКИРОВКА

Д	143	1250	18	УХЛ2
1	2	3	4	5

1. Д — Низкочастотный диод
2. Конструктивное исполнение
3. Средний прямой ток, А
4. Класс по напряжению
5. Климатическое исполнение по ГОСТ 15150: УХЛ2, Т



Все размеры в миллиметрах (дюймах)

Содержащаяся здесь информация является конфиденциальной и находится под защитой авторских прав. В интересах улучшения качества продукции, АО «Протон-Электротекс» оставляет за собой право изменять информационные листы без уведомления.

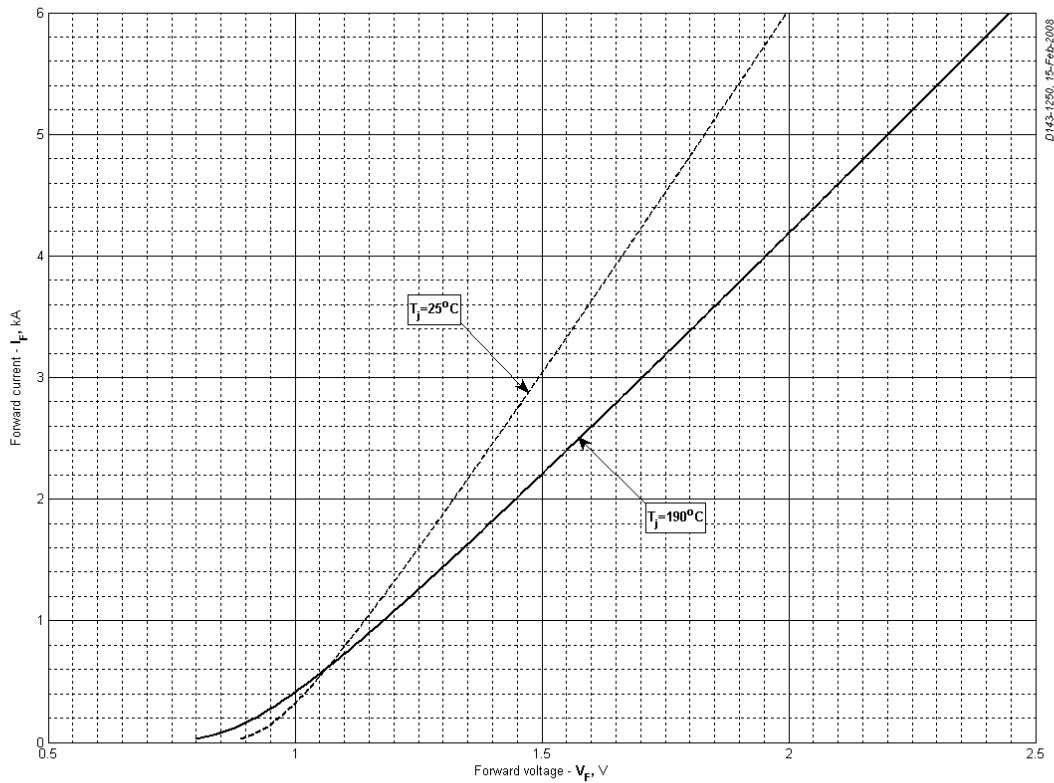


Рис. 1 – Предельная вольт — амперная характеристика

Аналитическая функция предельной вольт — амперной характеристики:

$$V_F = A + B \cdot i_F + C \cdot \ln(i_F + 1) + D \cdot \sqrt{i_F}$$

	Coefficients for max curves	
	$T_j = 25^\circ\text{C}$	$T_j = T_{j \max}$
A	0.843100	0.728162
B	0.131160	0.191782
C	-0.172583	-0.268141
D	0.286381	0.444947

Модель предельной вольт — амперной характеристики (см. Рис. 1).

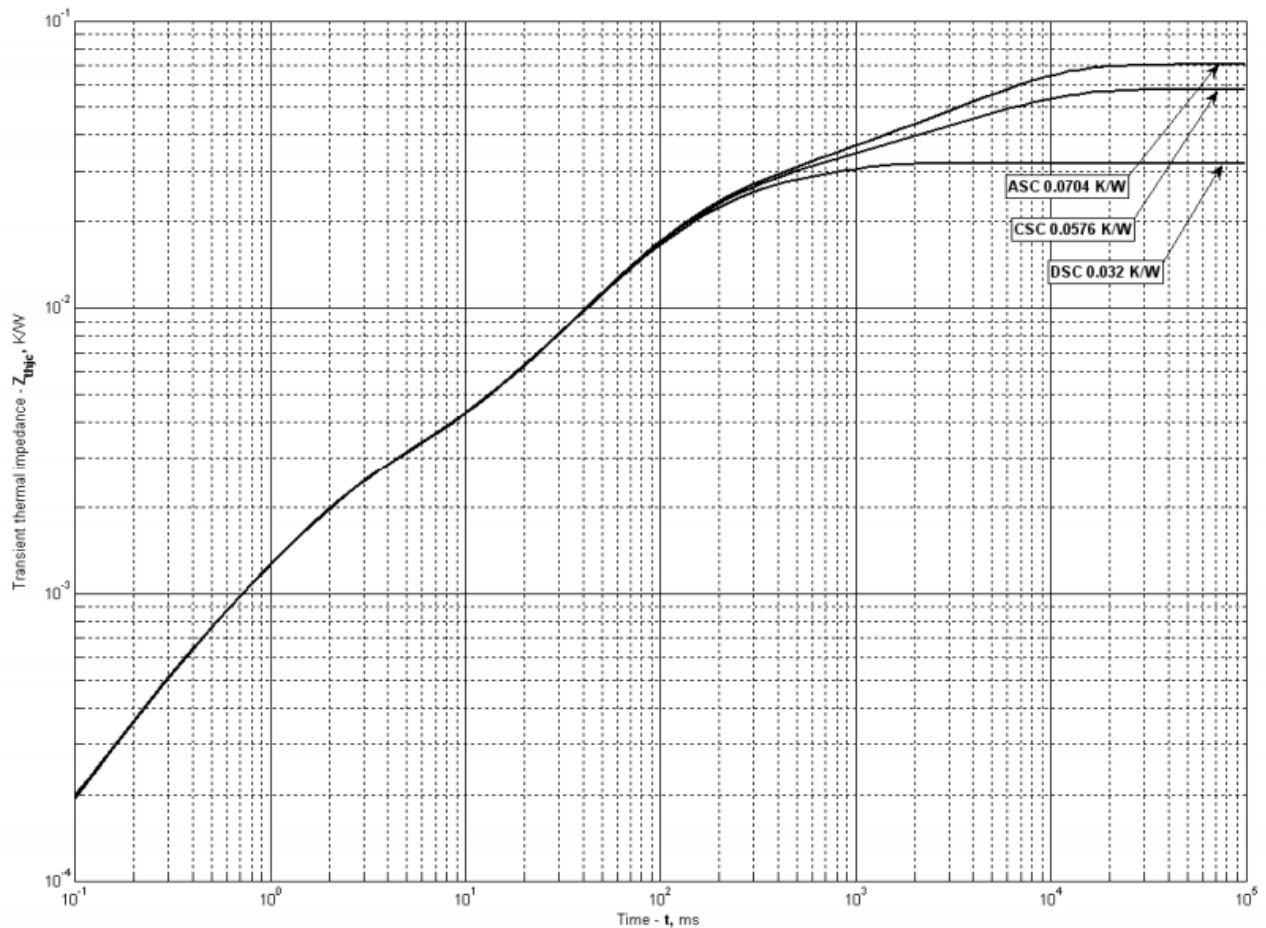


Рис. 2 – Переходное тепловое сопротивление

Аналитическая зависимость переходного теплового сопротивления переход — корпус:

$$Z_{thjc} = \sum_{i=1}^n R_i \left(1 - e^{-\frac{t}{\tau_i}} \right)$$

Где $i = 1$ до n , n – число суммирующихся элементов.

t = продолжительность импульсного нагрева в секундах.

Z_{thjc} = Тепловое сопротивление за время t .

R_i, τ_i = расчетные коэффициенты, приведенные в таблице.

Постоянный ток, двустороннее охлаждение

i	1	2	3	4	5	6
$R_i, K/W$	0.000005619	0.01031	0.01922	0.0004148	0.001895	0.0001521
τ_i, s	7.790	0.5094	0.09719	0.01725	0.0016	0.0002257

Постоянный ток, охлаждение со стороны катода

i	1	2	3	4	5	6
$R_i, K/W$	0.0381	0.008681	0.01867	0.001961	0.0001787	0.002771
τ_i, s	5.351	0.4584	0.09325	0.001734	0.0002174	0.9059

Постоянный ток, охлаждение со стороны анода

i	1	2	3	4	5	6
$R_i, K/W$	0.02561	0.0007698	0.01797	0.001931	0.000209	0.01416
τ_i, s	5.328	0.1832	0.09031	0.001714	0.0002598	0.525

Модель переходного теплового сопротивления переход - корпус (см. Рис. 2)

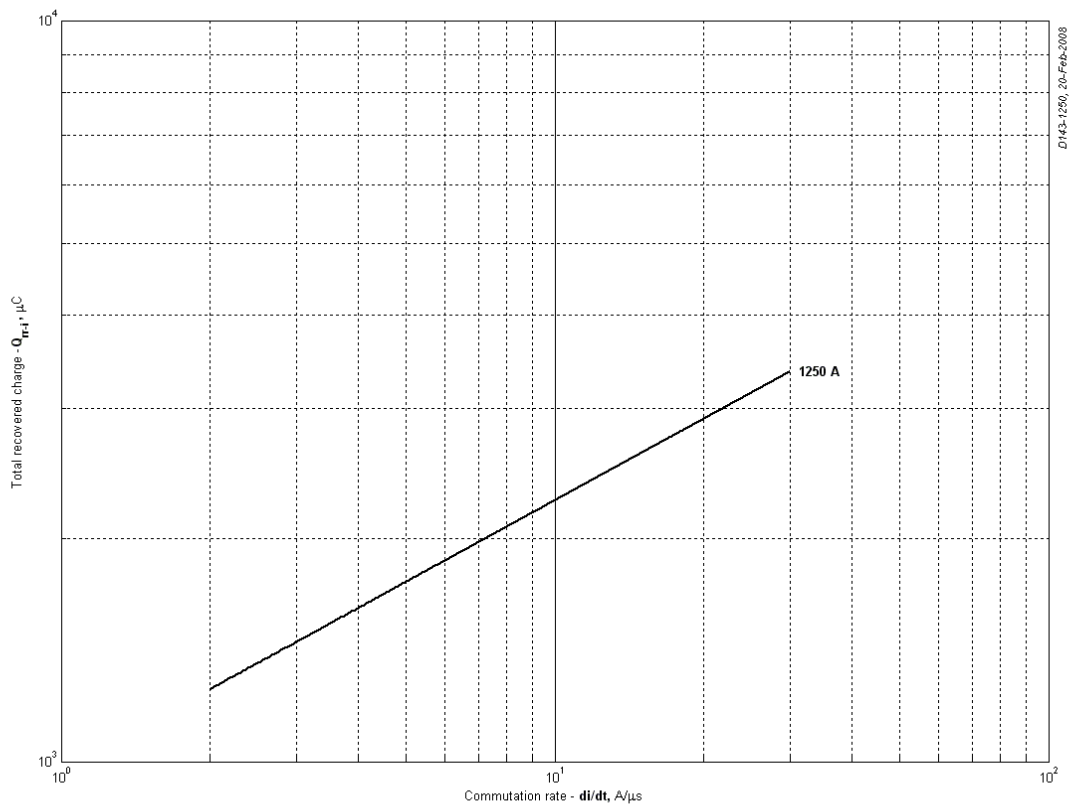


Рис. 3 - Заряд обратного восстановления, Q_{rr-i}

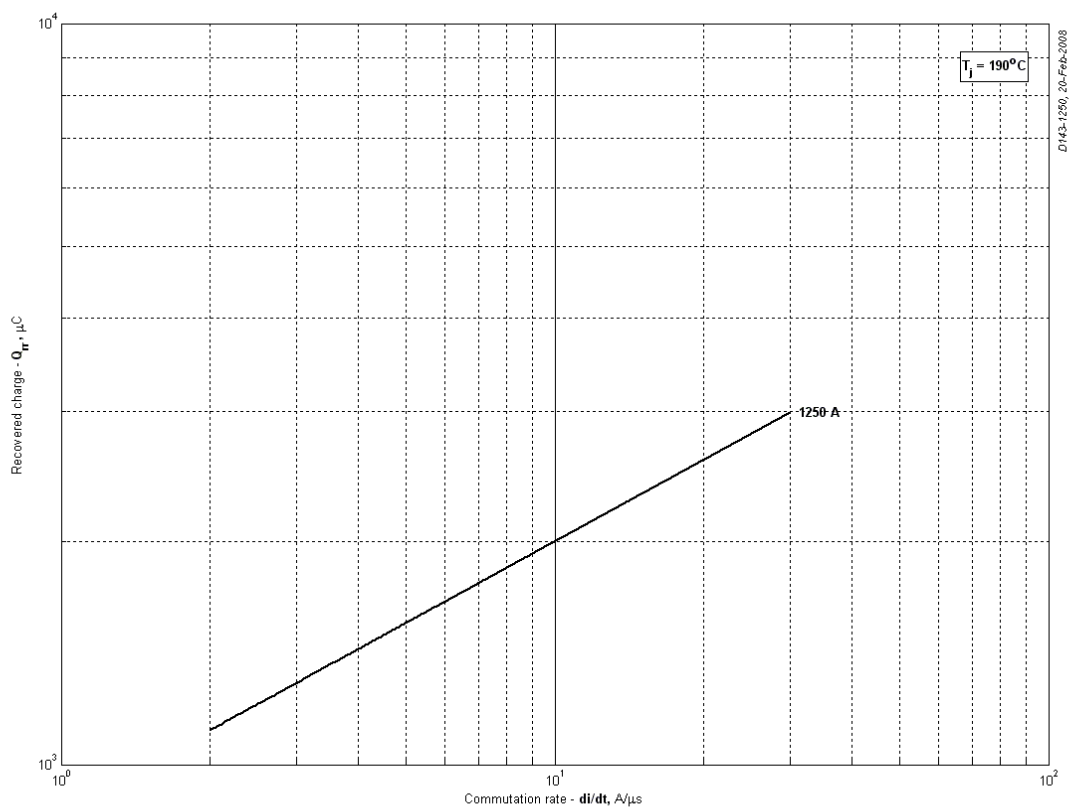


Рис. 4 - Заряд обратного восстановления, Q_{rr} (линеризованный)

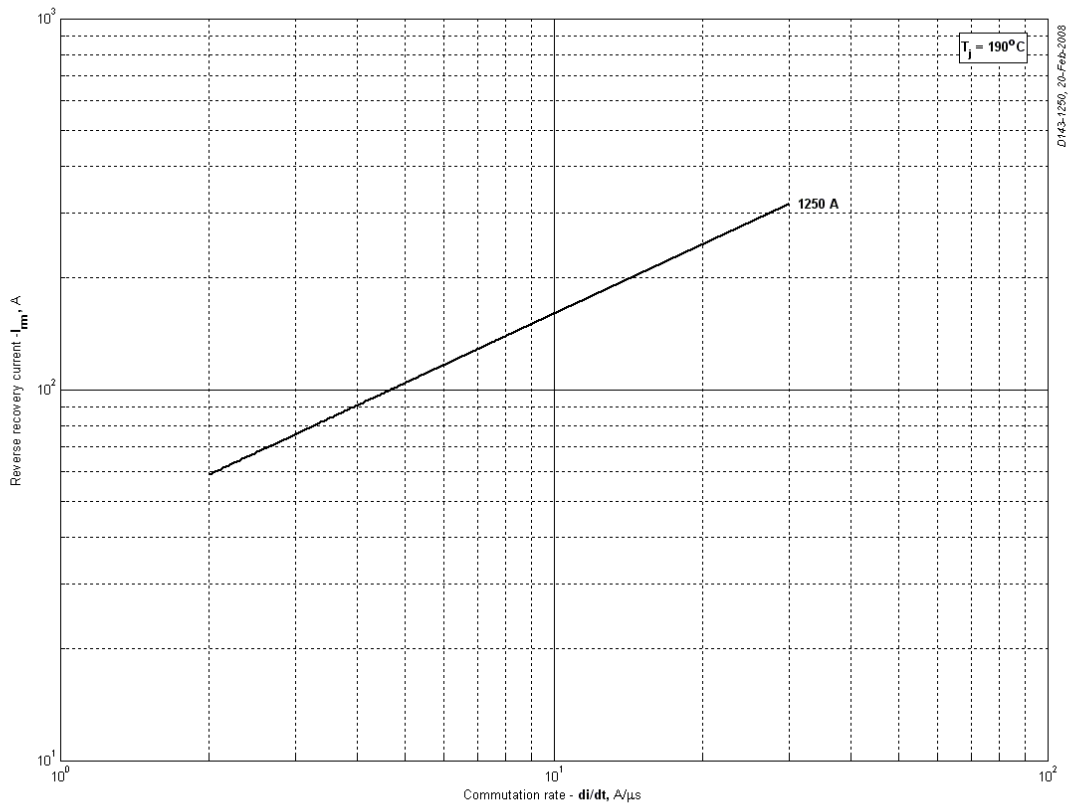


Рис. 5 - Максимальный обратный ток восстановления, I_{rm}

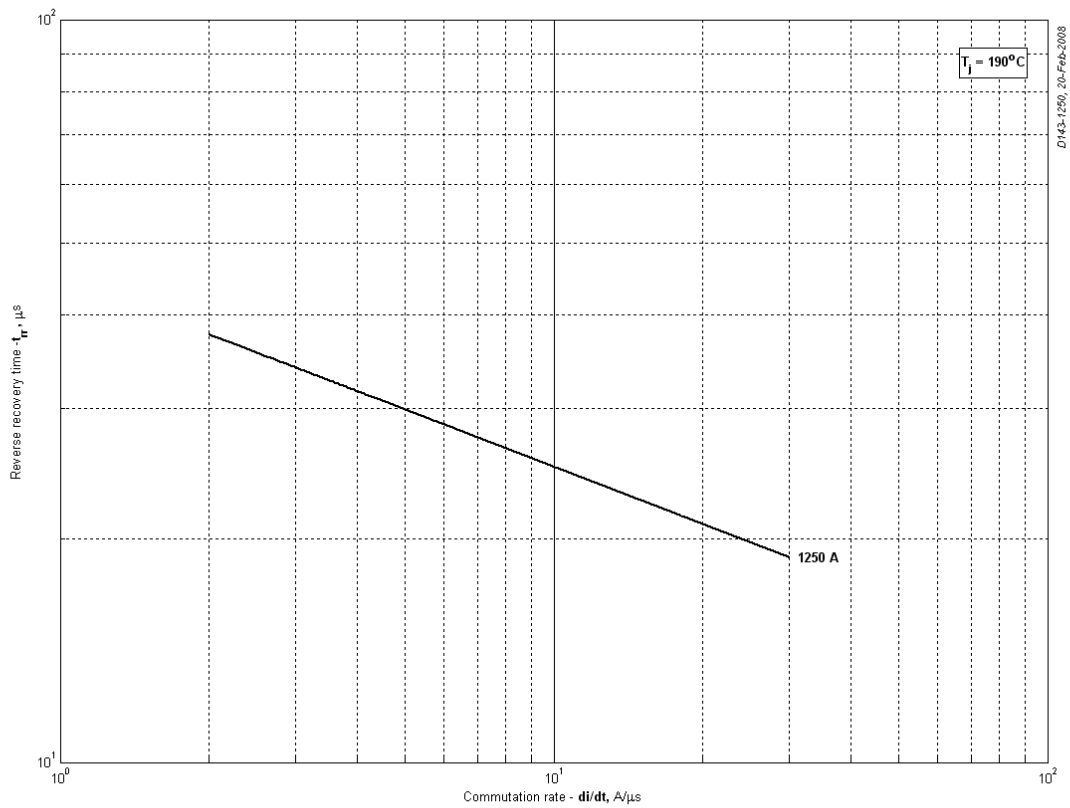


Рис. 6 - Максимальное время обратного восстановления, t_{rr} (линеризованный)

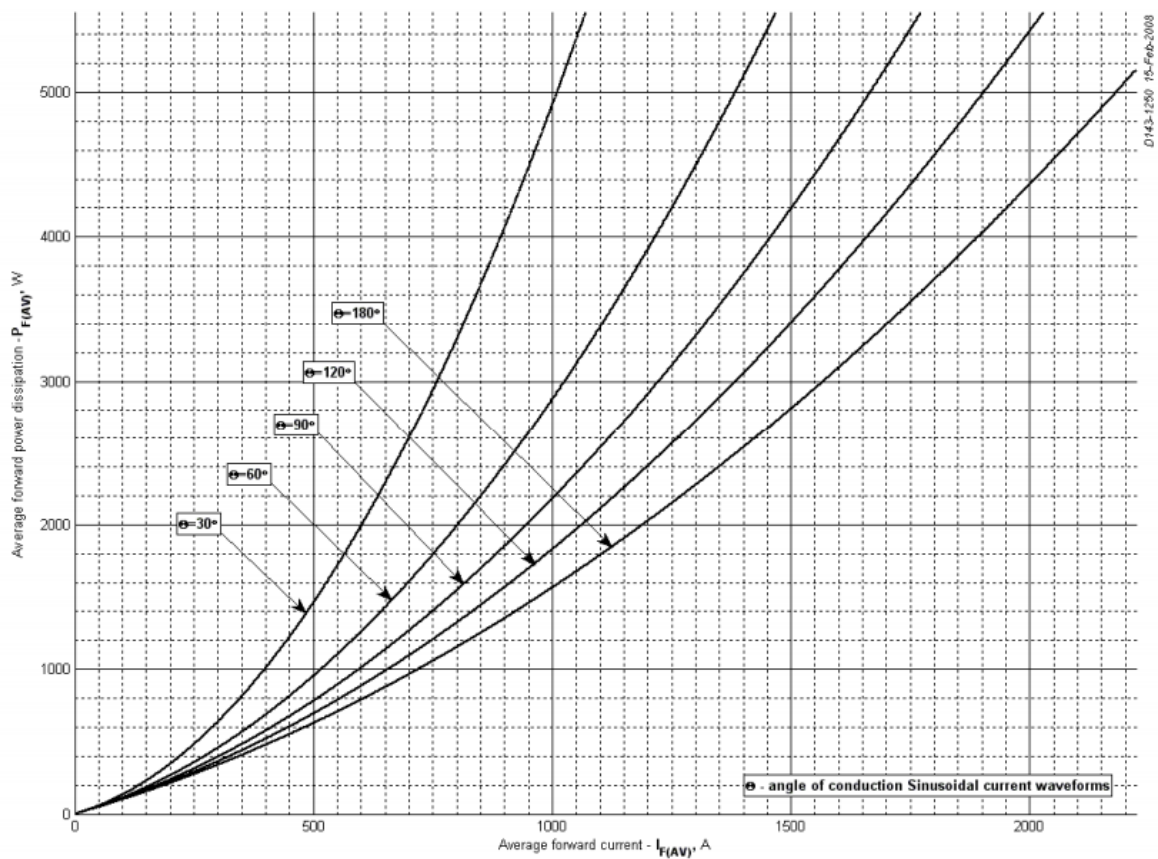


Рис. 7 - Зависимость потерь мощности P_{FAV} от среднего прямого тока I_{FAV} синусоидальной формы при различных углах проводимости ($f=50$ Гц, двустороннее охлаждение)

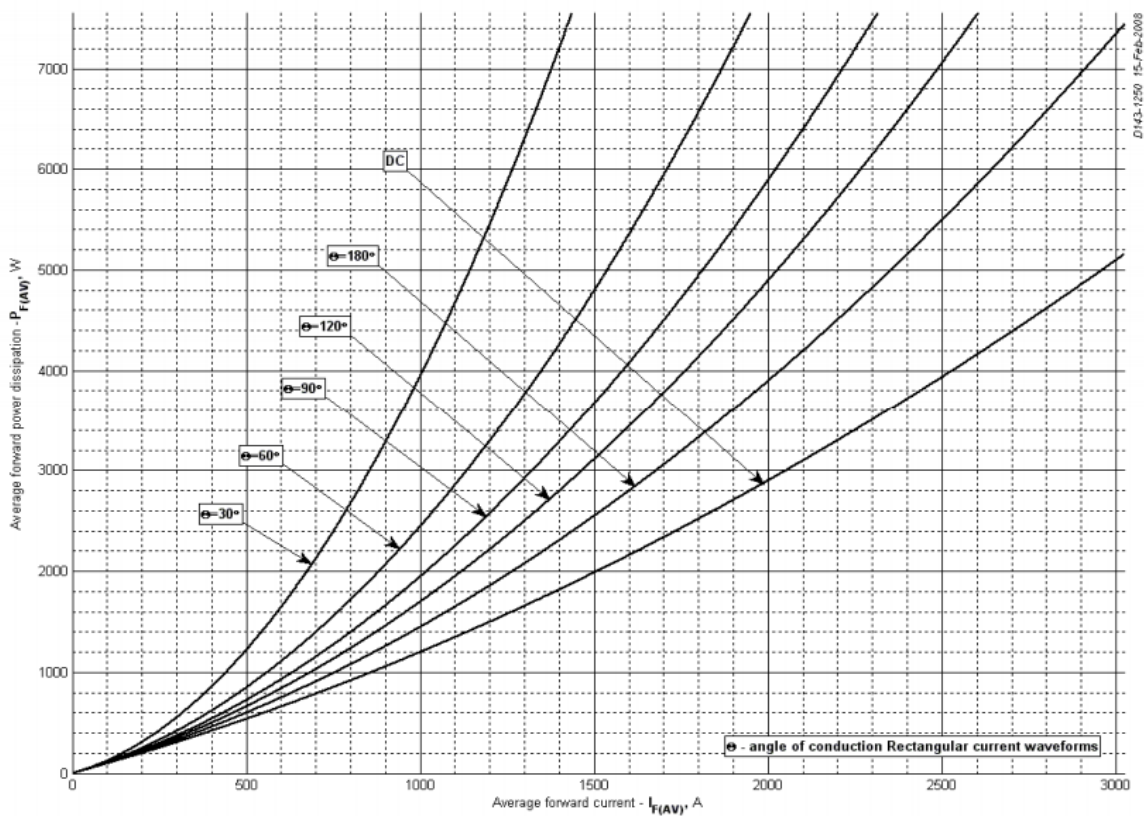
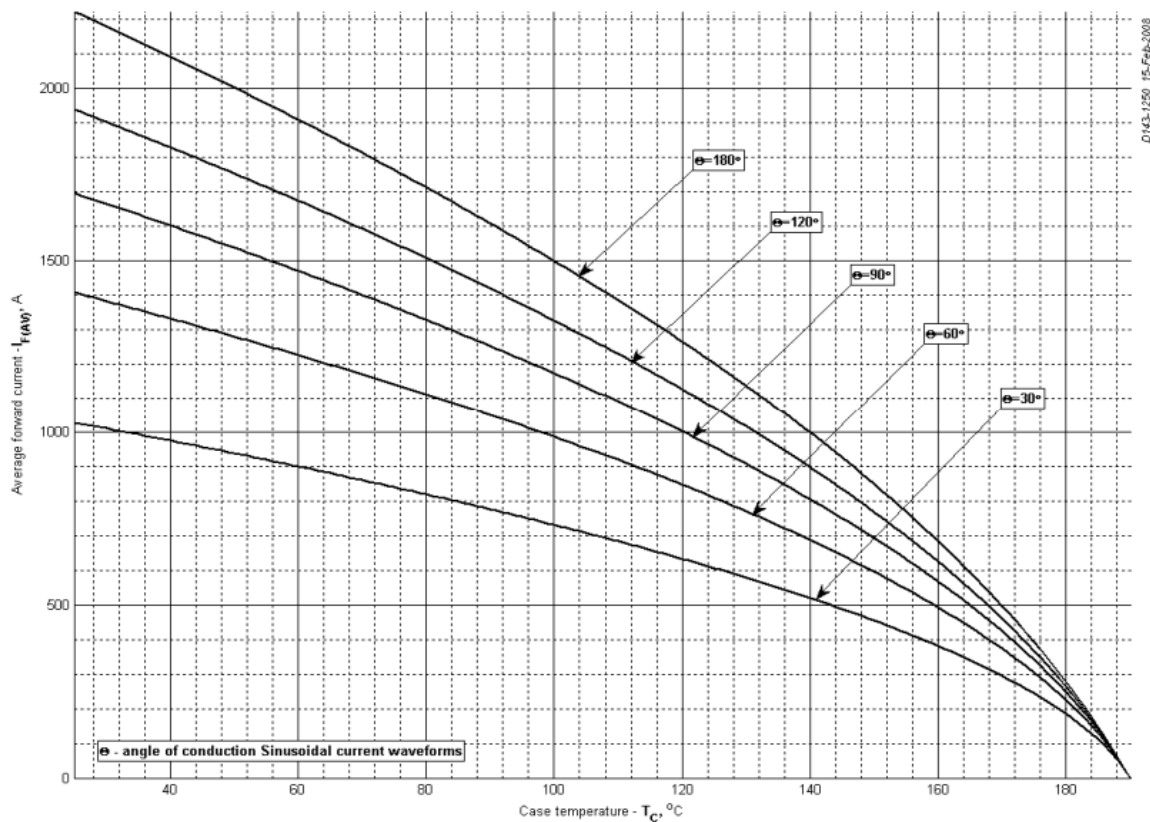
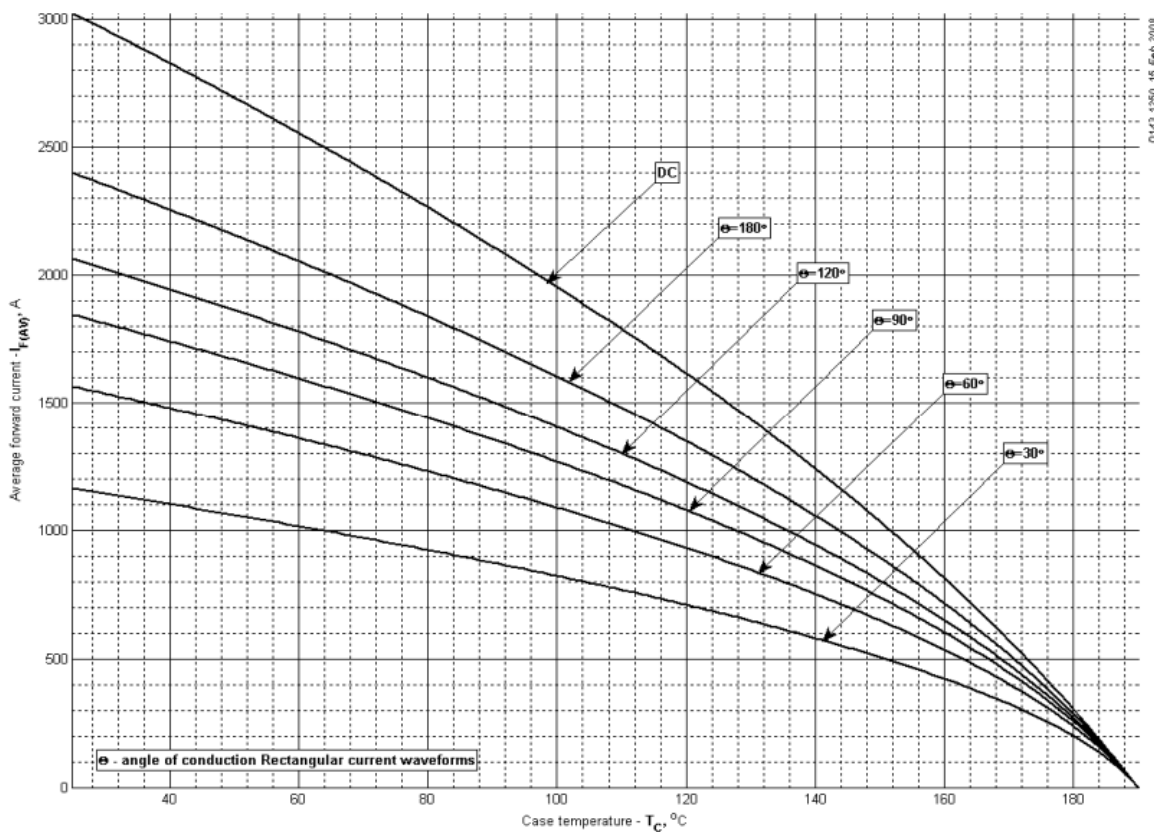


Рис. 8 – Зависимость потерь мощности P_{FAV} от среднего прямого тока I_{FAV} прямоугольной формы при различных углах проводимости ($f=50$ Гц, двустороннее охлаждение)



D143-1250 15-Feb-2008

Рис. 9 – Зависимость среднего прямого тока I_{FAV} от температуры корпуса T_C для синусоидальной формы тока при различных углах проводимости ($f=50$ Гц, Двустороннее охлаждение)



D143-1250 15-Feb-2008

Рис. 10 - Зависимость среднего прямого тока I_{FAV} от температуры корпуса T_C для прямоугольной формы тока при различных углах проводимости ($f=50$ Гц, Двустороннее охлаждение)

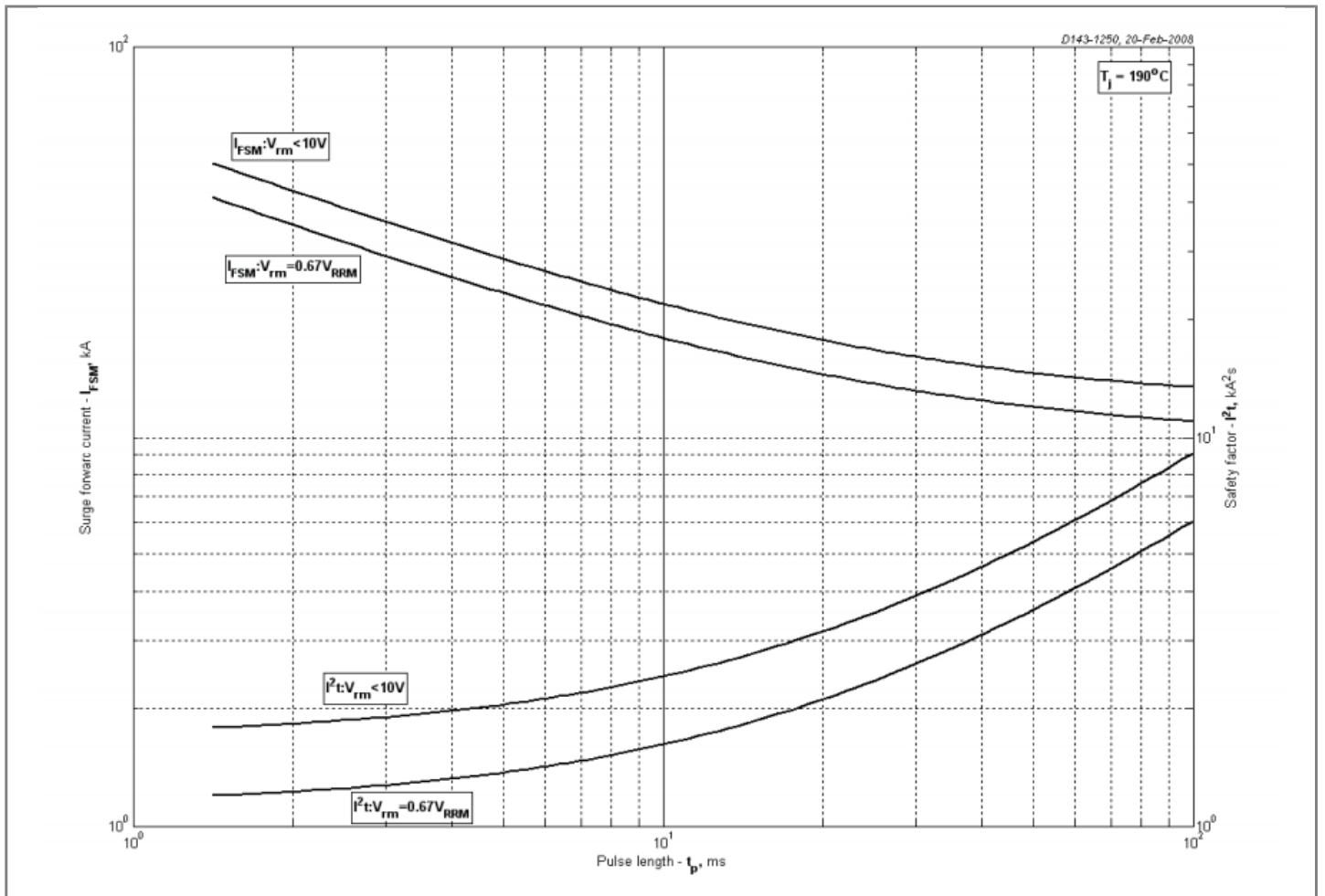


Рис. 11 – Максимальные ударные и I^2t характеристики

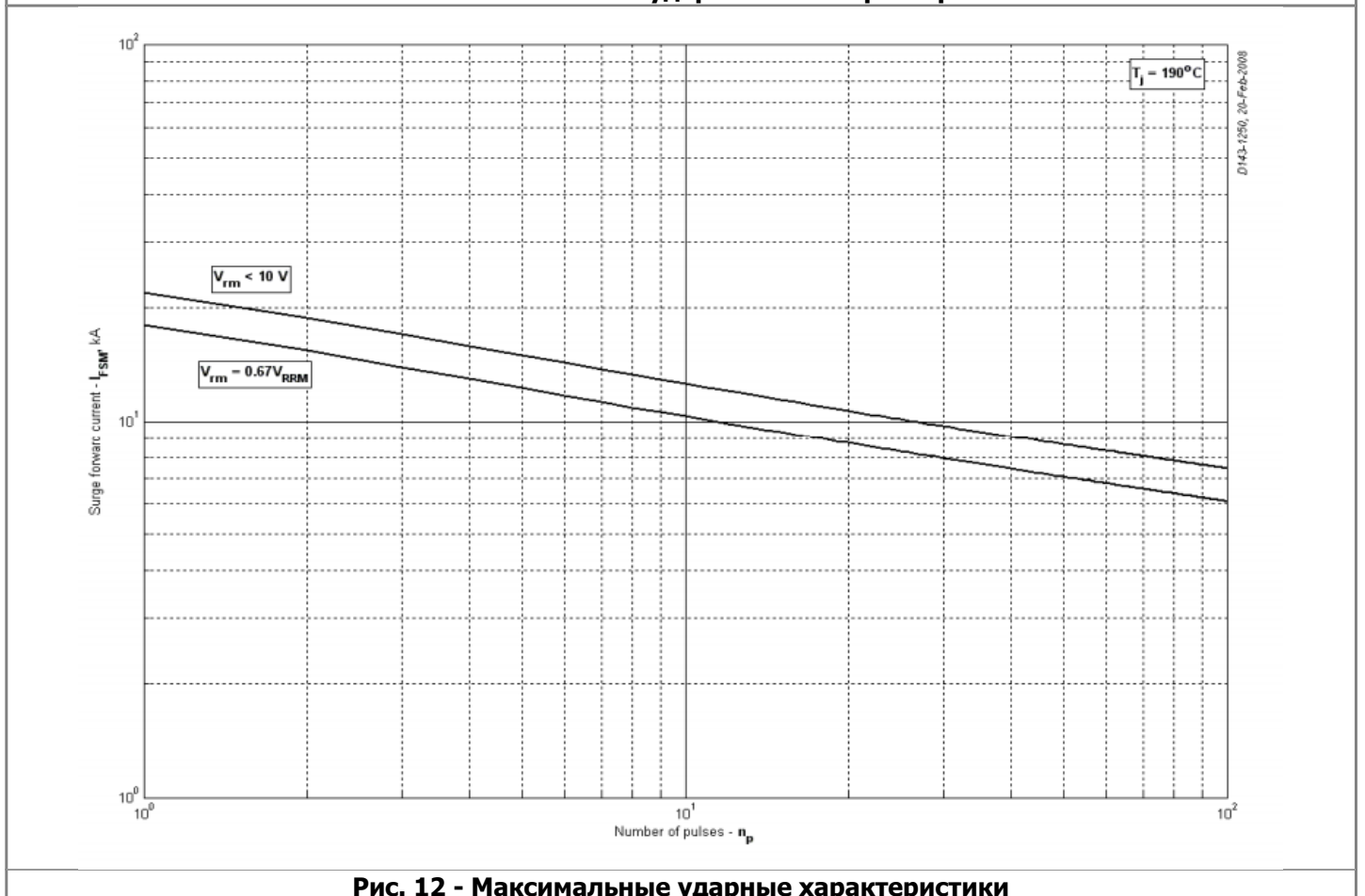


Рис. 12 - Максимальные ударные характеристики